

# Práctica de Laboratorio 3: Diseño de controladores por el método de Diagramas de Bode.

Elías Álvarez

Carrera de Ing. Electrónica

Universidad Católica Nuestra Señora de la Asunción

Asunción, Paraguay

Email: elias.alvarez@universidadcatolica.edu.py

Docente: Lic. Montserrat González

Facultad de Ingeniería

Universidad Católica Nuestra Señora de la Asunción

Asunción, Paraguay

Tania Romero

Carrera de Ing. Electrónica

Universidad Católica Nuestra Señora de la Asunción

Asunción, Paraguay

Email: tania.romero@universidadcatolica.edu.py

Docente: PhD. Enrique Vargas

Facultad de Ingeniería

Universidad Católica Nuestra Señora de la Asunción

Asunción, Paraguay

## I. INDICADORES

- Estabilidad en lazo cerrado: polos dentro del círculo unitario en  $z$ .
- Tiempo de subida: con  $\zeta = 0.7$  y 8 muestras en  $t_r$ .
- Error en estado estacionario (ESS): debe ser igual a cero.
- Comparación Matlab vs. experimento.

## II. INTRODUCCIÓN

En este laboratorio se aplica el método del lugar de raíces para el diseño de un controlador digital que modifique la dinámica de una planta previamente discretizada mediante retención de orden cero. A partir de las especificaciones de desempeño (tiempo de subida, factor de amortiguamiento y error en estado estacionario), se determinan los polos deseados en el plano- $z$  y se ajusta el compensador para que dichos polos pertenezcan al lugar de raíces del sistema. De este modo, se logra un diseño sistemático que permite cumplir con los requisitos de estabilidad y respuesta transitoria, comparando los resultados obtenidos en Matlab con la implementación práctica en PSoC.

## III. OBJETIVOS

- Diseñar un controlador que modifique la dinámica de la planta para satisfacer condiciones específicas de la respuesta transitoria del sistema de control en lazo cerrado.
- El sistema regulado debe ser estable.
- El error en estado estacionario (ESS) debe ser igual a cero.
- Observar y analizar los efectos del controlador en el comportamiento del sistema.
- Considerar diferentes métodos para el ajuste de los parámetros del controlador y analizar los resultados.
- Diseñar el sistema de control en Matlab e implementar la ecuación en diferencias en PSoC.

## IV. MATERIALES

- PC con Matlab.
- Planta analógica.
- Sistema de adquisición en PSoC.

## V. TEORÍA

Véase K. Ogata, *Sistemas de Control en Tiempo Discreto*, págs. 204–225.

## VI. DESARROLLO

### VI-A. Modelado del Sistema

*VI-A1. Obtención de la función de transferencia en lazo abierto:* La planta puede interpretarse como la conexión en cascada de dos filtros activos de primer orden. Cada uno posee la misma topología: un amplificador operacional en configuración inversora cuya impedancia de realimentación está compuesta por una resistencia en paralelo con un capacitor.

*VI-A1a. Impedancia de realimentación.:* Para el paralelo  $R_f \parallel C_f$ , se obtiene:

$$Z_f = R_f \parallel \frac{1}{sC_f} = \frac{R_f}{1 + sR_f C_f} \quad (1)$$

El sistema trabaja sobre una tensión de referencia en continua  $V_{cc}/2 = 2.5$  V. En los cálculos posteriores se toma dicho valor como punto de referencia.

*VI-A1b. Ganancia de una etapa (entrada inversora).:* Con  $V_{ref} = 0$ , se cumple el cortocircuito virtual ( $V_p = V_n = 0$ ). Aplicando KCL en el nodo inversor:

$$\frac{V_i}{R_i} = \frac{-V_o}{Z_f} \Rightarrow \frac{V_o}{V_i} = -\frac{Z_f}{R_i}$$

y reemplazando (1):

$$\left. \frac{V_o}{V_i} \right|_{V_{ref}=0} = -\frac{R_f}{R_i} \frac{1}{1 + sR_f C_f} \quad (2)$$

**VI-A1c. Encadenamiento de etapas.:** Como ambas etapas AO1 y AO2 responden a la forma (2), la ganancia total en lazo abierto resulta del producto de sus transferencias:

$$G_{\text{ol}}(s) = \left( -\frac{Z_{f1}(s)}{R_{i1}} \right) \left( -\frac{Z_{f2}(s)}{R_{i2}} \right)$$

**VI-A1d. Implementación en Matlab.:** El siguiente código genera cada etapa de primer orden, calcula la función en lazo abierto y extrae información temporal de la respuesta al escalón:

**VI-A1e. Resultados numéricos.:** A partir de la respuesta de la figura ?? se obtuvieron:

- **Tiempo de subida:**  $t_r \approx 0.0332$  s (33.2 ms)
- **Tiempo de establecimiento (2 %):**  $t_s \approx 0.0603$  s (60.3 ms)
- **Frecuencia natural estimada:**  $\omega_n \approx 54.2$  rad/s

## VI-B. Discretización de la Planta

2.1. Elegir el tiempo de muestreo  $T_s$  para que existan 8 muestras dentro del tiempo de subida. Para este caso se considera un factor de amortiguamiento  $\zeta = 0.7$ .

La planta a discretizar está dada por:

$$G(s) = \frac{K}{(s+a)(s+b)} \quad (3)$$

Este sistema corresponde a una planta de segundo orden, representada como el producto de dos polos reales.

Para discretizar, partimos del método de la *transformación de la respuesta al impulso*. La relación general es:

$$G(z) = (1 - z^{-1}) \mathcal{Z} \left[ \mathcal{L}^{-1} \left( \frac{G(s)}{s} \right)^* \right] \quad (4)$$

Es decir, primero se obtiene la respuesta al escalón unitario en el tiempo continuo, luego se transforma con  $\mathcal{Z}$  y finalmente se multiplica por  $(1 - z^{-1})$  para obtener la función de transferencia discreta.

**Desarrollo de fracciones parciales:** Se descompone  $\frac{G(s)}{s}$  en términos más simples para poder aplicar transformadas inversas de Laplace:

$$\frac{G(s)}{s} = \frac{K}{ab} \cdot \frac{1}{s} + \frac{K}{b^2 - ab} \cdot \frac{1}{s+b} + \frac{K}{a^2 - ab} \cdot \frac{1}{s+a} \quad (5)$$

Aquí aparecen tres coeficientes, que llamamos  $\delta$ ,  $\beta$  y  $\alpha$ , cada uno asociado a un término simple de la expansión.

**Respuesta en el tiempo continuo:** Aplicando la transformada de Laplace inversa, cada término corresponde a una exponencial decreciente o a una constante:

$$\mathcal{L}^{-1} \left\{ \frac{G(s)}{s} \right\} = \delta + \beta e^{-bTk} + \alpha e^{-aTk}, \quad k \geq 0 \quad (6)$$

Este resultado representa la respuesta al escalón unitario en tiempo discreto, evaluada en múltiplos de  $T$ .

**Transformada Z:** Al transformar esta secuencia al dominio-z, se obtiene:

$$\mathcal{Z} \left[ \frac{G(s)}{s} \right] = \delta \frac{z}{z-1} + \beta \frac{z}{z-e^{-bT}} + \alpha \frac{z}{z-e^{-aT}} \quad (7)$$

Cada término se convierte en una fracción simple con un polo en  $z = 1$ ,  $z = e^{-bT}$  y  $z = e^{-aT}$  respectivamente.

**Función de transferencia discreta:** Finalmente, al multiplicar por  $(1 - z^{-1})$ , se obtiene la expresión general de la planta discretizada,  $G(z)$ , vista anteriormente en la ecuación 4.

**Cálculo de coeficientes:** Con los valores  $a = \frac{1}{81.000 \cdot 200 \cdot 10^{-9}}$  y  $b = \frac{1}{15 \cdot 10^3 \cdot 100 \cdot 10^{-9}}$ , y considerando  $K = 1$  y  $T = 1.2452$ , se obtienen los siguientes coeficientes:

$$\delta = \frac{K}{ab} \approx 24.3 \times 10^6, \quad \beta = \frac{K}{b^2 - ab} \approx -2.4 \times 10^6, \\ \alpha = \frac{K}{a^2 - ab} \approx -26.78 \times 10^6$$

**Planta discretizada:** Reemplazando los valores en la expresión final, se obtiene aproximadamente:

$$G(z) \approx \frac{0.022(z + 0.74)}{(z - 0.93)(z - 0.44)} \quad (8)$$

2.2. Comparar este resultado con el obtenido en Matlab utilizando el comando c2d.

$$H(z) = \frac{0.021596(z + 0.7419)}{(z - 0.9333)(z - 0.436)}$$

Se puede observar que los valores son muy aproximados.

## VI-C. Modificación de la Dinámica

Una vez digitalizada la planta, es posible identificar la ubicación de polos y ceros en el plano-z (véase la Fig. 1).

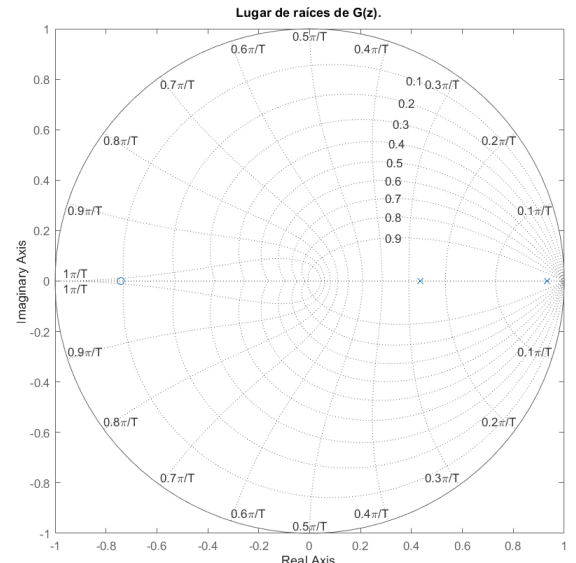


Figura 1: Lugar de las raíces de la planta digitalizada con el tiempo de muestreo  $T$  calculado.

De acuerdo con las especificaciones solicitadas, se debe determinar un punto en el plano- $z$  que satisfaga las condiciones de desempeño requeridas.

Recordando que

$$z = e^{sT}, \quad \text{con } s = \sigma + j\omega_d,$$

donde  $\sigma = \zeta \cdot \omega_n$  y  $\omega_d = \omega_n \sqrt{1 - \zeta^2}$ , se obtiene un punto candidato  $p_{\text{target}}$ , cuyas coordenadas en el plano- $z$  son

$$x = 0.843273, \quad y = 0.136677.$$

Este punto representa la ubicación de los polos deseados que garantizarían la aproximación de segundo orden y, por ende, las características dinámicas solicitadas.

Para verificar si el punto pertenece al lugar de las raíces de la planta, se aplica la *condición de fase*, la cual establece que la suma de ángulos debe satisfacer la Ec. (9):

$$\begin{aligned} \angle(p_{\text{target}} - z_0) - \angle(p_{\text{target}} - p_0) \\ - \angle(p_{\text{target}} - p_1) &= \phi \\ &\approx -136.42^\circ \end{aligned} \quad (9)$$

De este análisis se deduce que es necesario introducir un compensador que aporte un desfase adicional de  $-43.042^\circ$  para que el punto deseado forme parte del lugar de raíces y el sistema cumpla con las especificaciones de diseño.

3.1. Diseñar compensador para  $\zeta = 0.7$ : Para el primer compensador, a partir del análisis del *ángulo faltante*  $\phi$  para cumplir con la condición de fase (Ec. (9)), la alternativa más sencilla consiste en diseñar un filtro *lag* en cascada de primer orden.

Una opción es cancelar uno de los polos originales de la planta mediante la ubicación de un cero en la misma posición, y colocar a continuación un nuevo polo de manera que el aporte de fase conjunto de estos dos compense el desfase requerido. De esta forma, el punto seleccionado pasará a pertenecer al lugar de las raíces.

En este caso, se procede a cancelar el polo más lento del sistema. Para ello, se analiza el triángulo formado por el cero, el nuevo polo y el punto deseado en el plano- $z$ , representado en la Figura 2.

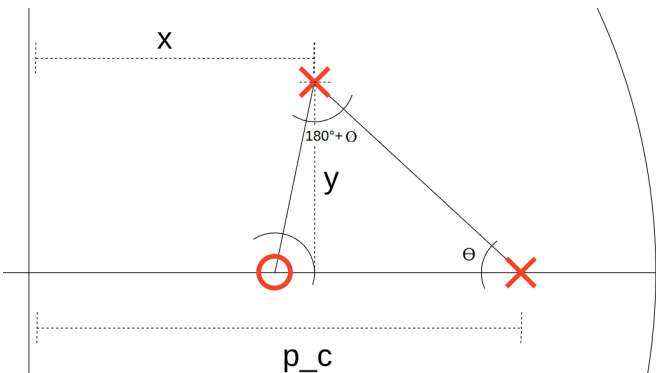


Figura 2: Análisis geométrico para el diseño del primer compensador (no es a escala).

Ecuacionando, por la ley de senos se obtienen las siguientes 2 relaciones:

$$\theta = \arcsin\left(\frac{y}{\sqrt{(x - z_c)^2 + y^2}}\right) \quad (10)$$

$$\frac{p_c - z_c}{\sin(180^\circ + \phi)} = \frac{\sqrt{(x - z_c)^2 + y^2}}{\sin(-\phi + \theta)} \quad (11)$$

Usando las Ec. (10) y (11), se concluye que:

$$p_c = \frac{\sin(180^\circ + \phi) \sqrt{(x - z_c)^2 + y^2}}{\sin\left(-\arcsin\left(\frac{y}{\sqrt{(x - z_c)^2 + y^2}}\right) - \phi\right)} + z_c \quad (12)$$

Con la Ec. (12), se obtiene un filtro *lag* que asegura que el punto deseado pertenezca al lugar de las raíces. Restará determinar el valor de la ganancia  $K$  que garantice que los polos en lazo cerrado se ubiquen efectivamente en dicha posición.

Esto puede realizarse aplicando el *criterio de magnitud*, expresado en la Ec. (13):

$$K = \frac{\prod_i \sqrt{(p_i - x)^2 + y^2}}{\prod_j \sqrt{(z_j - x)^2 + y^2}} \quad (13)$$

No obstante, también es posible emplear directamente la función `rlocus` de MATLAB, lo cual facilita el cálculo.

Cuadro I: Parámetros del Compensador 1

$z_0$	0.436
$p_0$	0.769221
$K$	0.743

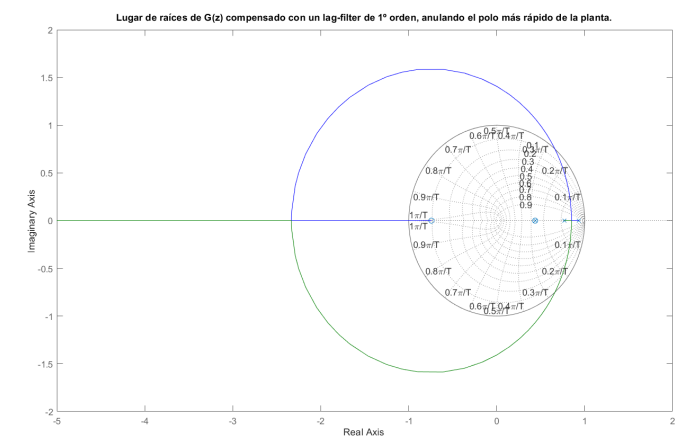


Figura 3: Lugar de las raíces de la planta digitalizada y compensada con un filtro lag de primer orden.

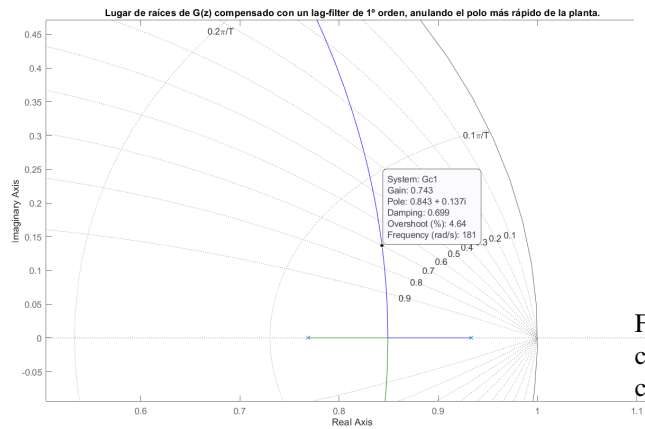


Figura 4: Lugar de las raíces de la planta digitalizada y compensada con un filtro lag de primer orden (detalle ampliado).

Una vez identificado el compensador y la ganancia, se procede a cerrar el lazo y analizar la respuesta en el tiempo. La Fig. 5 muestra la respuesta al escalón con el primer compensador diseñado.

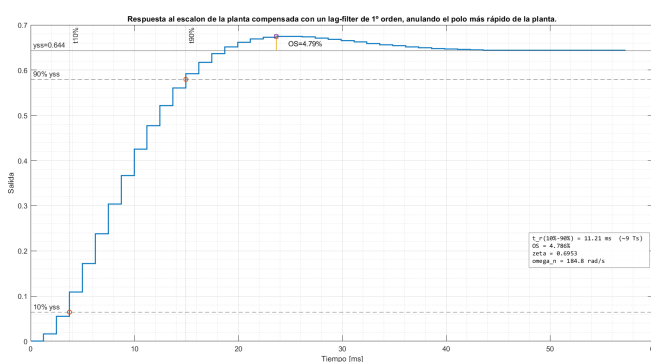


Figura 5: Respuesta al escalón del sistema en lazo cerrado con el primer compensador diseñado.

Se observa que se cumplen las condiciones de desempeño solicitadas; sin embargo, aparece un error en estado estacionario considerable. Esto se debe a que el sistema en lazo abierto  $K \cdot C(z) \cdot G_d(z)$  es de tipo 0, por lo cual no posee la capacidad de seguir correctamente a una entrada escalón.

Asimismo, se evalúa el esfuerzo de control aplicado (Fig. 6). Si bien resulta implementable, se aprecia que presenta una magnitud inicial elevada con picos pronunciados.

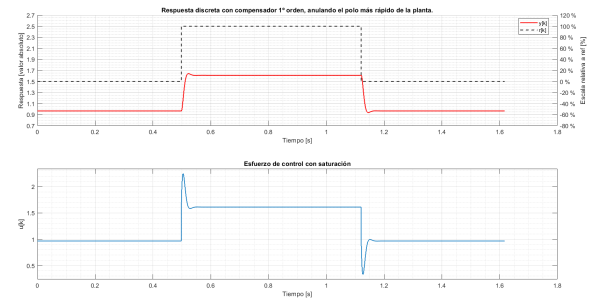


Figura 6: Respuesta al escalón del sistema en lazo cerrado con el primer compensador diseñado, junto con el esfuerzo de control aplicado por el compensador.

3.2. Diseñar compensador para  $\zeta = 0.7$  y ESS = 0: Para el segundo compensador solicitado, con el fin de cumplir la condición de que el error en estado estacionario sea cero, necesitamos que la función de transferencia de lazo abierto sea de tipo 1. Sin embargo, la planta original es de tipo 0, lo cual nos obliga a colocar un polo en  $z = 1$ . Como primer intento, buscamos un cero que, junto con el polo en  $z = 1$ , compense el ángulo faltante de manera similar al diseño del primer compensador. Para ello desarrollamos la Ec. (14):

$$z_c = p_c - \frac{\sin(\pi + \phi) \sqrt{(x - p_c)^2 + y^2}}{\sin\left(-\arcsin\left(\frac{y}{\sqrt{(x - p_c)^2 + y^2}}\right)\right) - \phi}. \quad (14)$$

Inicialmente este enfoque parece prometedor: podemos calcularlo (valores obtenidos) y, utilizando MATLAB, obtener la ganancia  $K$  correspondiente (véase Fig. 7).

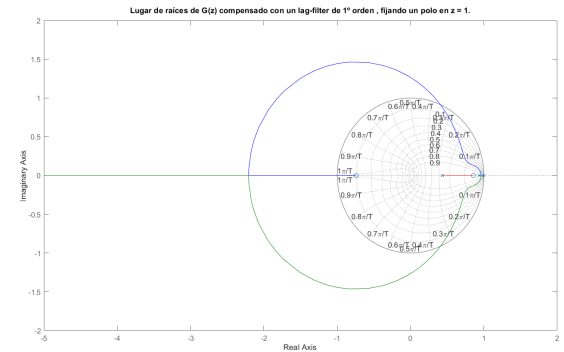


Figura 7: Lugar de raíces de la planta compensada con un filtro lag de primer orden, fijando un polo en  $z = 1$ .

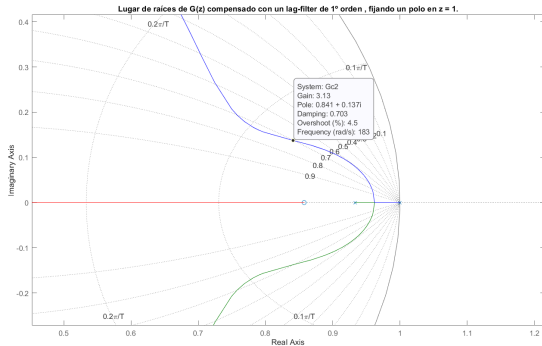


Figura 8: Lugar de raíces de la planta compensada con un filtro *lag* de primer orden y polo en  $z = 1$  (detalle ampliado).

No obstante, al observar la respuesta al escalón nos encontramos con una decepción: se obtiene un sobrepico del 20 %, equivalente a un  $\zeta \approx 0.4$ , lo que no satisface las condiciones deseadas.

Cuadro II: Parámetros del Compensador 2

$z_0$	0.857419558001
$p_0$	1
$K$	3.09

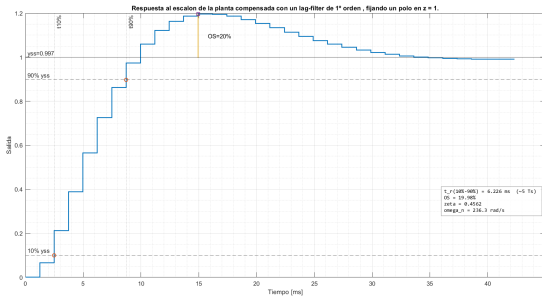


Figura 9: Respuesta al escalón del primer intento de compensador.

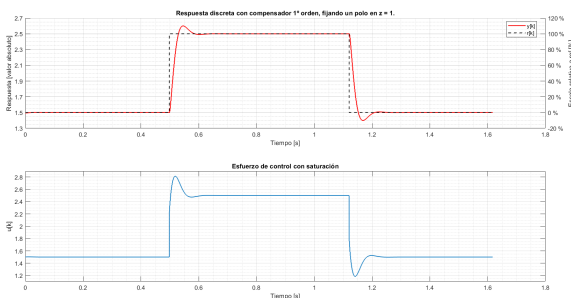


Figura 10: Respuesta al escalón del sistema en lazo cerrado con el segundo compensador diseñado, junto con el esfuerzo de control aplicado por el compensador.

Esto ocurre porque la ubicación de los polos del sistema final no presenta un par de polos dominantes, por lo que la aproximación de segundo orden utilizada al inicio no resulta válida.

Finalmente, optamos por un compensador de segundo orden. En primer lugar, colocamos nuevamente el polo en  $z = 1$ , pero esta vez anulamos el polo más cercano de la planta (el más lento) y calculamos su contribución a la compensación (valores).

A continuación, diseñamos un segundo compensador para completar lo faltante, anulando el polo más rápido de la planta con un cero en esa ubicación y hallando el nuevo polo mediante el mismo procedimiento aplicado en el primer compensador.

Determinando la ganancia  $K$  como en el caso anterior, obtenemos el siguiente resultado, el cual ahora cumple con las condiciones deseadas:

Cuadro III: Parámetros del Compensador 3

$z_{0,0}$	0.9333
$p_{0,0}$	1
$z_{0,1}$	0.436
$p_{0,1}$	0.71135
$K$	1.14

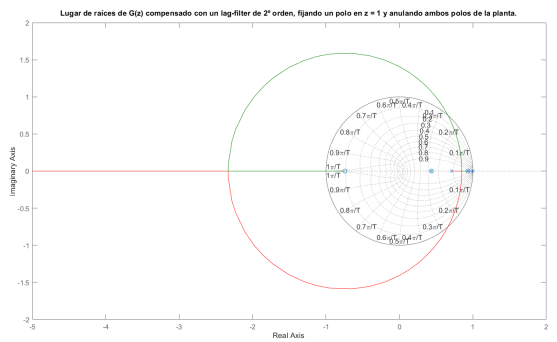


Figura 11: Lugar de raíces de la planta compensada con un filtro *lag* de segundo orden y polo en  $z = 1$ .

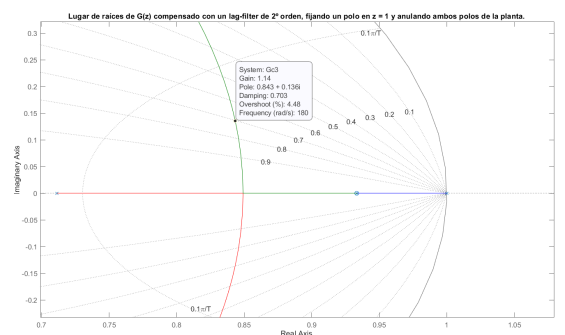


Figura 12: Lugar de raíces de la planta compensada con un filtro *lag* de segundo orden y polo en  $z = 1$  (detalle ampliado).

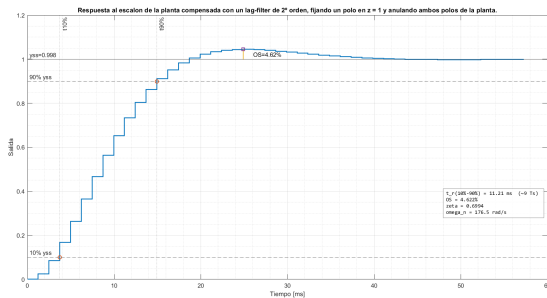


Figura 13: Respuesta al escalón con el tercer compensador propuesto.

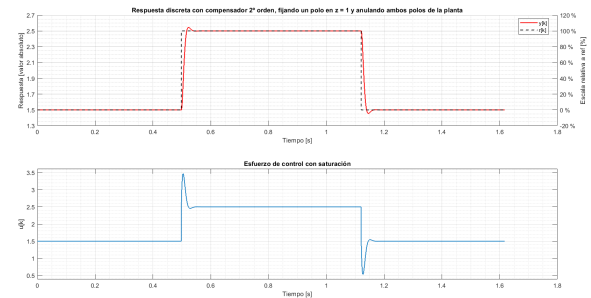


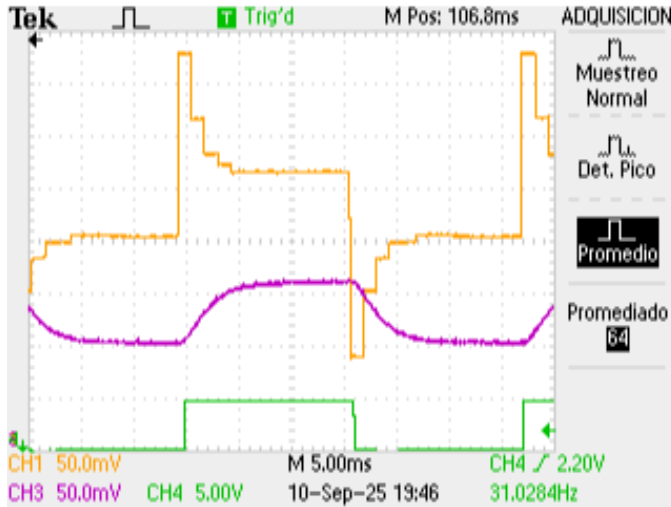
Figura 14: Respuesta al escalón del sistema en lazo cerrado con el tercer compensador diseñado, junto con el esfuerzo de control aplicado por el compensador.

## VI-D. Implementación en PSoC

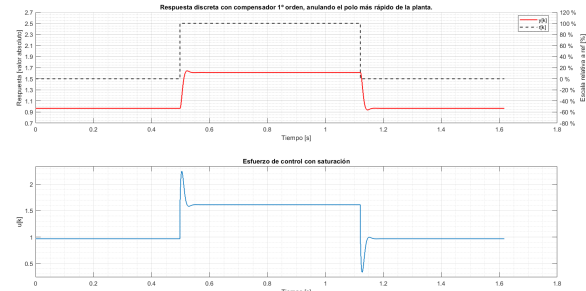
### 4.1. Implementar las ecuaciones en diferencias:

#### 4.1.4.1. Con el compensador de la sección 3.1.

Se realizó la implementación en *PSoC Creator* empleando los parámetros obtenidos en Matlab para un amortiguamiento objetivo de  $\zeta = 0.7$ . La Figura 15a muestra el primer compensador y la respuesta medida en placa. El código para el PSoC permite modificar los valores de referencia mínima y máxima, ajustar el período de la señal de referencia y conmutar entre lazo abierto y lazo cerrado, con el fin de realizar las pruebas correspondientes.



(a) Primer compensador diseñado para  $\zeta = 0.7$ .



(b) Step y esfuerzo del compensador diseñado para  $\zeta = 0.7$ .

Figura 15

En la Figura 15a se observa un pico pronunciado en el esfuerzo de control (traza amarilla), de manera consistente con lo obtenido en la simulación. La salida (traza magenta) presenta un comportamiento muy similar al simulado (Figura 15b), manteniéndose dentro del rango establecido y logrando un adecuado seguimiento de la referencia.

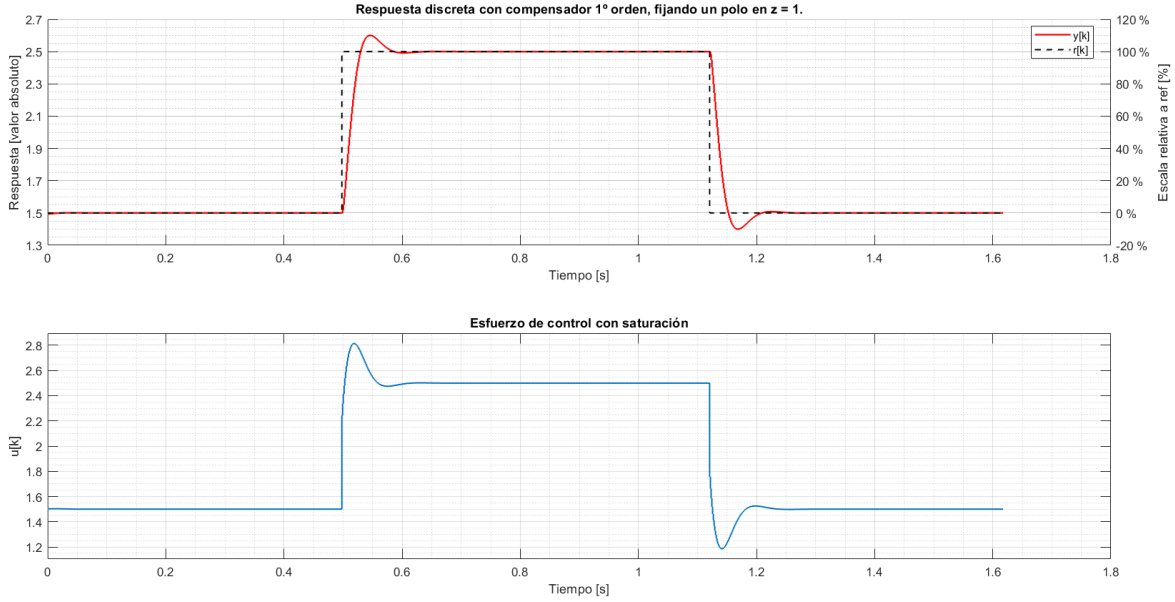
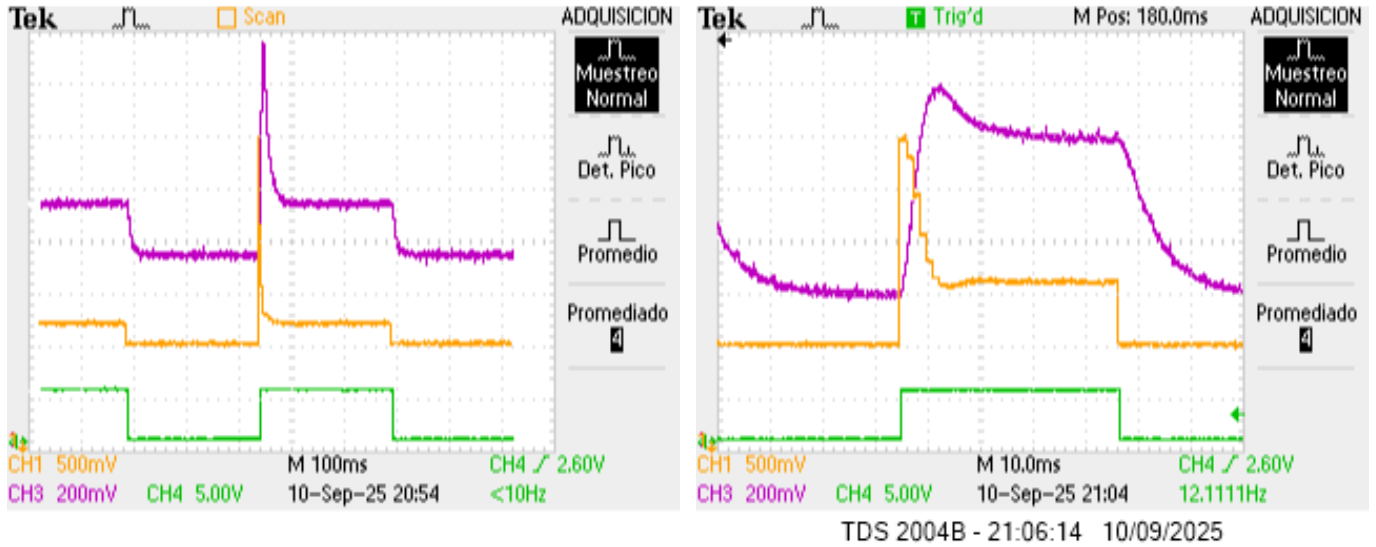


Figura 16: Segundo compensador diseñado para  $\zeta = 0.7$ .



(a) Primer compensador diseñado para  $\zeta = 0.7$  con  $ESS = 0$  y un polo en el círculo unitario.

(b) Segundo compensador diseñado para  $\zeta = 0.7$  con  $ESS = 0$  y un polo cercano al círculo unitario.

Figura 17

#### 4.1.4.2. Con el compensador de la sección 3.2.

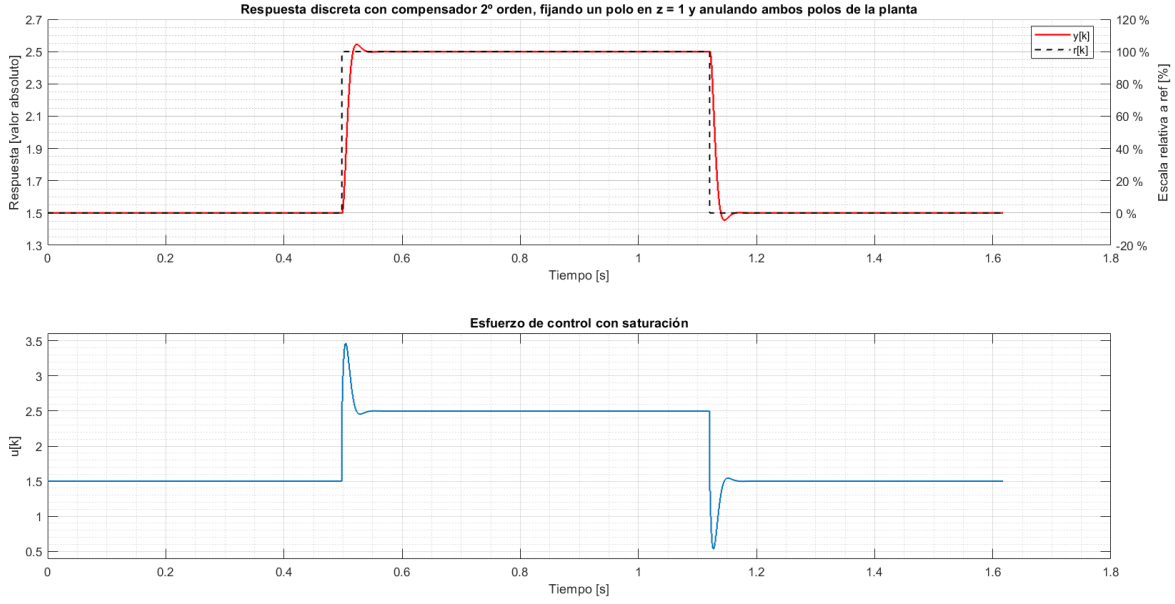
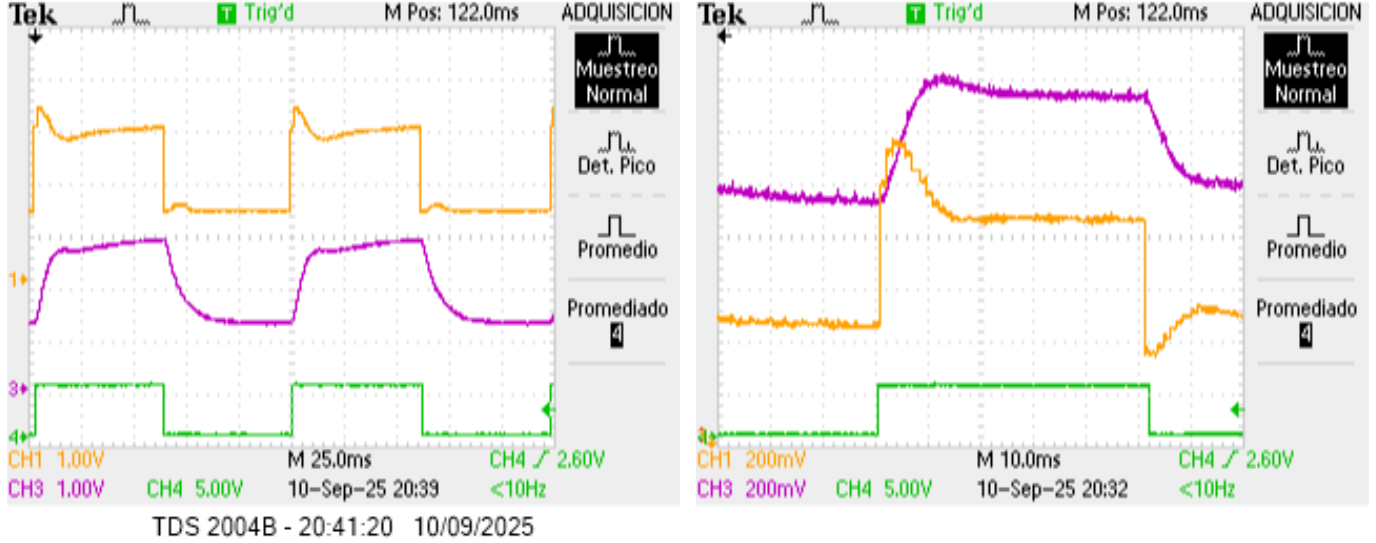


Figura 18: Tercer compensador diseñado en Matlab.



(a) Tercer compensador diseñado para  $\zeta = 0.7$  con  $ESS = 0$  y un polo cercano en el circulo unitario.

(b) Tercer compensador diseñado para  $\zeta = 0.7$  con  $ESS = 0$  y un polo cercano en el circulo unitario.

Figura 19

En la Figura 19a se observa que el caso con el polo ubicado cerca del círculo unitario presenta picos en la respuesta, ya que esta ubicación acelera la dinámica del sistema. En contraste, el sistema con el polo en el círculo unitario (Figura 19b) muestra una respuesta más lenta y menos energética, producto de un mayor amortiguamiento. Por otro lado, las imágenes de implementación presentadas en la Figura 19 no reproducen con fidelidad el comportamiento de la simulación mostrada en la Figura 18. Esta discrepancia se atribuye a un modelado inadecuado de la planta o del compensador, lo que introduce diferencias notorias entre la simulación teórica y la respuesta medida en hardware.

#### VI-E. Nuevo Modelado de la Planta

Con el objetivo de mejorar las prestaciones y evitar las limitaciones derivadas de las tolerancias de los componentes pasivos (resistencias y capacitores de baja precisión), se decidió realizar un modelado alternativo de la planta utilizando MATLAB.

Para ello, se empleó el osciloscopio a fin de muestrear la respuesta del sistema ante una entrada escalón. Posteriormente, mediante las funciones de identificación de sistemas en MATLAB, se llevó a cabo una estimación de segundo orden que aproxima de manera adecuada el comportamiento dinámico de la planta.

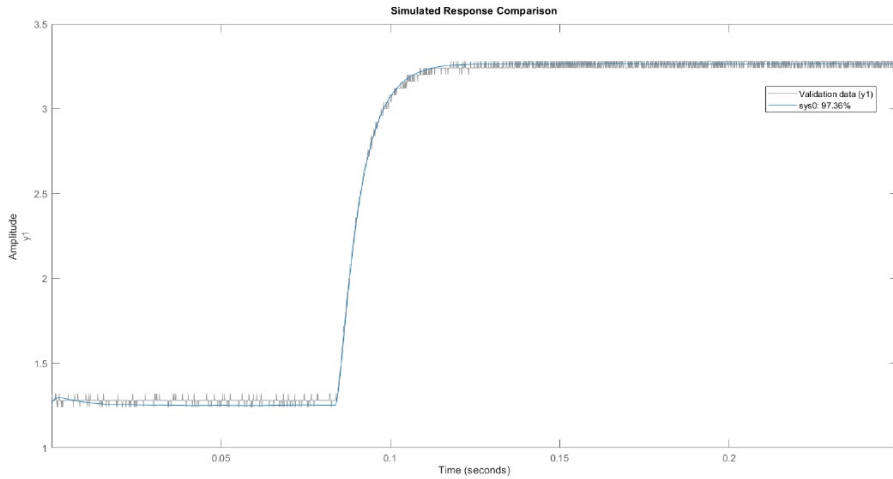


Figura 20: Respuesta al escalón de la planta estimada mediante identificación en MATLAB.

De esta estimación se obtuvo la siguiente función de transferencia característica del sistema identificado:

$$G(s) = \frac{1.2472e05}{(s + 771.3)(s + 157.3)}, \quad (15)$$

donde los parámetros  $K$ ,  $a$  y  $b$  fueron ajustados automáticamente por el algoritmo de estimación en función de los datos experimentales.

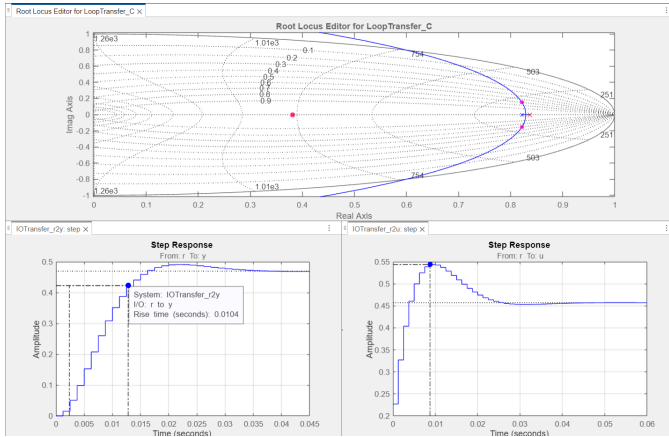
A partir de este nuevo modelo, y siguiendo procedimientos análogos a los presentados en secciones anteriores, se diseñaron dos compensadores que fueron implementados de manera similar al caso inicial.

Cuadro IV: Parámetros del Compensador 1 (con la nueva planta)

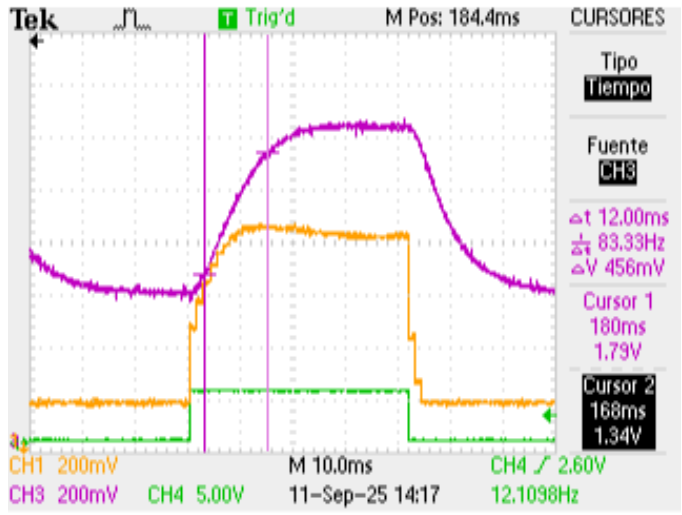
$z_0$	0.380927627742363
$p_0$	0.836970379456654
$K$	0.226961597782889

Cuadro V: Parámetros del Compensador 2 (con la nueva planta)

$z_{0,0}$	0.380927627742363
$z_{0,1}$	0.821584532561100
$p_{0,0}$	0.753973536568200
$p_{0,1}$	1
$K$	0.287529112579611

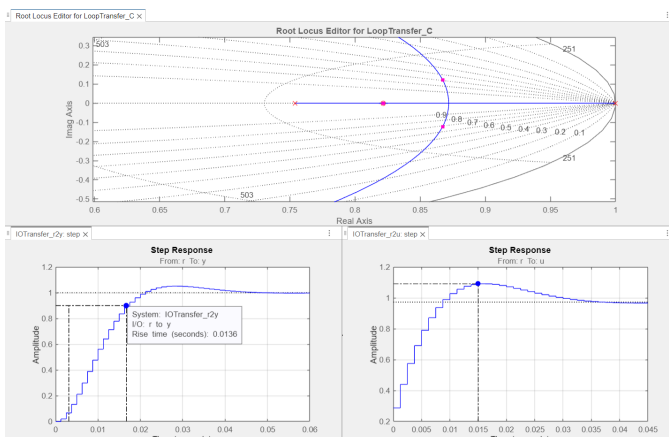


(a) Versión dos del primer compensador diseñado en Matlab para  $\zeta = 0.7$ .

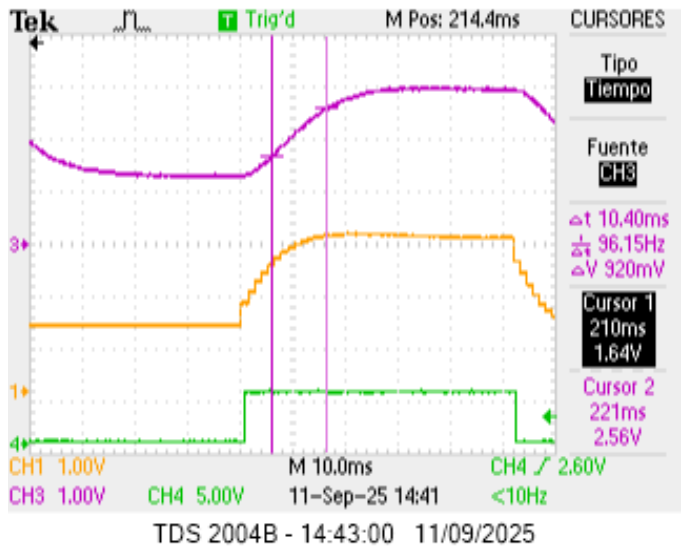


(b) Implementación del compensador en el PSoC.

Figura 21



(a) Versión dos del segundo compensador diseñado en Matlab para  $\zeta = 0.7$  y  $ESS = 0$ .



(b) Implementación del compensador en el PSoC.

Figura 22

#### VI-F. Resultados

Cuadro VI: Comparación entre cálculos y mediciones

Compensador	Overshoot (%)	$t_r$ (ms)	$\zeta$
Compensador 1 (primer modelo) - Cálculo	4.79	11.21	0.69
Compensador 1 (primer modelo) - Medición	NV	5	> 0.6
Compensador 3 (primer modelo) - Cálculo	4.62	11.21	0.69
Compensador 3 (primer modelo) - Medición (polo en 1)	300	NV	NE
Compensador 3 (primer modelo) - Medición (polo en 0.9)	25	10	0.404
Compensador 1 (segundo modelo) - Cálculo	5	10.4	0.70
Compensador 1 (segundo modelo) - Medición	5	7	0.69
Compensador 2 (segundo modelo) - Cálculo	5	13.6	0.70
Compensador 2 (segundo modelo) - Medición	5	8	0.69

#### VI-G. Conclusión

El diseño de los compensadores, si bien logró estabilizar el sistema, no reprodujo exactamente la respuesta esperada según los cálculos iniciales. En particular, los valores de  $\zeta$  y del tiempo de subida no coincidieron con lo estimado teóricamente. Esto se debió principalmente a un modelado poco preciso de la planta, sumado al uso de valores nominales de resistencias y capacitores, lo cual introdujo un error significativo en la implementación práctica.

Además, se observó que al ubicar un polo cercano a  $z = 1$  la respuesta tiende a desestabilizarse; sin embargo, con un ajuste fino de su posición se logró mejorar el desempeño. Este efecto puede atribuirse también a la incertidumbre en el muestreo y a las pequeñas variaciones en el *clock*, que desplazan el polo fuera del círculo unitario.

Finalmente, al emplear un modelo más preciso de la planta, sin necesidad de modificar de manera considerable los valores de  $K$ , polos ni ceros, se obtuvieron respuestas muy cercanas a las calculadas en Matlab. Esto demuestra la importancia de un modelado adecuado como base para una correcta implementación del control en hardware.

## APÉNDICE A

### CÓDIGOS DE MATLAB

```
1 close all
2 clear all
3
4 addpath('..\Lab1\' )
5
6 % % Definicion de parametros
7 R_1 = 15e3;
8 R_3 = 15e3;
9 C_2 = 100e-9;
10
11 R_2 = 82e3;
12 R_4 = 82e3;
13 C_1 = 0.22e-6;
14
15 % % Generar funcion de transferencia d
16 numStage = [-R_3/R_1 -R_4/R_2];
17 denStage = { [C_2*R_3 1], [C_1*R_4 1] } ;
18
19 % Usamos celdas para guardar los tf de cada stage
20 Gstage = cell(1,2);
21 G = 1;
22 for i = 1:2
23 Gstage{i} = tf(numStage(i), denStage{i});
24 G = G*Gstage{i};
25 end
26
27 % % Analizamos en el tiempo
28 [tr, ts, wn] = plot_step_info(G);
29 disp('Planta continua G(s):')
30 G
31 zpk(G)
32
33
34
35 % % Paso 1: Definir periodo de muestreo
36 % Se busca una mejora de 4 en el tiempo de rising , o sea tr = 10 ms
37 N = 4;
38 T = tr/(8*N);
39 %Gcl = feedback(G,1);
40 %figure;
41 %step(Gcl)
42 %T = stepinfo(Gcl).SettlingTime/8;
43
44 % % Paso 2: Digitalizar con ZOH
45 Gd = c2d(G, T, 'zoh');
46 disp('Planta digital G(z):')
47 Gd
48 zpk(Gd)
49 figure;
50 pzmap(Gd);
51 title('Lugar de raíces de G(z).')
52
53 zgrid;
54 z = tf([1 0],1,T);
55
56 % % Paso 3: Análisis en tiempo discreto lazo abierto
57 figure;
58
59 % Obtenemos salida y tiempo de la función step
60 [y, t] = step(Gd);
61
62 % Graficamos con stairs (propio de señales discretas)
63 stairs(t*1000, y, 'LineWidth',1.4);
```

```

65 title('Respuesta al escalón de la planta digitalizada')
66 xlabel('Tiempo [ms]');
67 ylabel('Salida');
68 grid on;
69 ax = gca;
70 ax.XMinorTick = 'on'; % activamos minor ticks
71 ax.YMinorTick = 'on';
72 grid minor;
73
74 %% Paso 4: Definimos los valores de la simulación
75 umin = 0;
76 umax = 4.08;
77 refmin = 1.5;
78 refmax = 2.5;
79 n_per_seg = 500;
80 %% Paso 5: Lugar de raíces para zita = 0.7, compensador P
81 %figure
82
83 %rlocus(Gd)
84 %zgrid % agrega la grilla en el plano-z
85 z0=0.436;
86 p0=0.769221; %0.7705;
87 C_1 = (z-z0)/(z-p0);
88 figure;
89 Gc1 = Gd*C_1;
90 rlocus(Gc1);
91 title('Lugar de raíces de G(z) compensado con un lag-filter de 1º orden, anulando el polo
más rápido de la planta.')
92
93 zgrid % agrega la grilla en el plano-z
94 %pause;
95 %[K, ~] = rlocfind(Gc1); % hacés click donde querés los polos
96 %K = 0.73139;
97 %K = 0.82543;
98 K = 0.743;
99 Gclf = feedback(K*Gc1,1);
100 %figure;
101 %step(Gclf)
102 info = stepinfo(Gclf);
103 info
104
105 info_ext = plot_step_annot(Gclf, 'la planta compensada con un lag-filter de 1º orden,
anulando el polo más rápido de la planta.');
106 %step(Gc3f);
107 info = stepinfo(Gclf);
108 info
109 info_ext
110
111 [td, refd, yd, ud, ed, coefs] = sim_compensador_first_order( ...
112 Gd, z0, p0, K, T, umin, umax, refmin, refmax, n_per_seg);
113
114 Nini = 100; % descartar al inicio
115 Nfin = 100; % descartar al final
116 idx0 = Nini + 1; % índice inicial válido
117 idx1 = length(td) - Nfin; % índice final válido
118
119 td = td(idx0:idx1)-td(idx0);
120 refd = refd(idx0:idx1);
121 yd = yd(idx0:idx1);
122 ud = ud(idx0:idx1);
123 ed = ed(idx0:idx1);
124
125 % Si querés que el tiempo arranque en 0
126
127
128
129
```

```

130
131 figure;
132
133 % ----- Subplot 1 -----
134 axAbs = subplot(2,1,1); % eje izquierdo (absoluto)
135 hold(axAbs,'on'); grid(axAbs,'on');
136
137 % y[k] en rojo (abs)
138 hY = stairs(axAbs, td, yd, 'r-', 'LineWidth', 1.4);
139
140 % Armamos eje derecho transparente
141 axPct = axes('Position', get(axAbs,'Position'), ...
142 'Color','none', 'YAxisLocation','right', ...
143 'XLim', get(axAbs,'XLim'), 'XTick',[], 'Box','off');
144 hold(axPct,'on');
145
146 % r[k] en negro, graficado en %
147 ref_pct = 100*(refd - refmin)/(refmax - refmin);
148 HR = stairs(axPct, td, refd, 'k--', 'LineWidth', 1.2);
149
150 % ===== Cálculo de límites con margen =====
151 yd_pct = 100*(yd - refmin)/(refmax - refmin);
152 pctAll = [yd_pct; ref_pct];
153
154 % Valores extremos en % con margen del 5 %
155 rawMin = min(pctAll);
156 rawMax = max(pctAll);
157 span = rawMax - rawMin;
158 pctMin = rawMin - 0.05*span;
159 pctMax = rawMax + 0.05*span;
160
161 % Redondeamos a múltiplos de 20 para ticks
162 stepPct = 20;
163 tickMin = stepPct*floor(pctMin/stepPct);
164 tickMax = stepPct*ceil (pctMax/stepPct);
165 pctTicks = tickMin:stepPct:tickMax;
166
167 % Convertimos a absolutos
168 valTicks = refmin + (pctTicks/100)*(refmax - refmin);
169
170 % Aplicamos a ambos ejes
171 set(axAbs,'YLim',[valTicks(1) valTicks(end)],'YTick',valTicks);
172 set(axPct,'YLim',[valTicks(1) valTicks(end)],'YTick',valTicks, ...
173 'YTickLabel',compose('% .0f %%',pctTicks));
174
175 % Etiquetas
176 xlabel(axAbs,'Tiempo [s]');
177 ylabel(axAbs,'Respuesta [valor absoluto]');
178 ylabel(axPct,'Escala relativa a ref [%]');
179 title(axAbs,'Respuesta discreta con compensador 1º orden, anulando el polo más rápido de la planta.');
180 legend(axAbs, [hY, HR], {'y[k]', 'r[k]'}, 'Location', 'best');
181
182 % ----- Subplot 2: esfuerzo de control -----
183 axU = subplot(2,1,2);
184 stairs(axU, td, ud, 'LineWidth',1.2); grid(axU,'on');
185 yline(axU, umax,'r:'); yline(axU, umin,'r:');
186 xlabel(axU,'Tiempo [s]'); ylabel(axU,'u[k]');
187 title(axU,'Esfuerzo de control con saturación');
188
189 % --- Margen de 5% en eje Y ---
190 uMin = min(ud);
191 uMax = max(ud);
192 span = uMax - uMin;
193 ylim(axU, [uMin - 0.05*span, uMax + 0.05*span]);
194
195

```

```

196 grid(axAbs,'on');      % grilla principal
197 grid(axAbs,'minor');  % grilla secundaria
198
199 grid(axPct,'on');
200 grid(axPct,'minor');
201
202 grid(axU,'on');
203 grid(axU,'minor');
204
205 %% Paso 6: Lugar de raices para zita = 0.7 y y ESS = 0, compensador PI
206 z0 = 0.857419558001;
207 p0 = 1;
208 C_2 = (z-z0)/(z-p0); %z=0.8433 %8433
209 Gc2 =Gd*C_2;
210 figure;
211 rlocus(Gc2);
212 title('Lugar de raíces de G(z) compensado con un lag-filter de 1º orden , fijando un polo
en z = 1.');
213
214 zgrid
215 %[K, ~] = rlocfind(Gc2);    % hacés click donde querés los polos
216 %K = 3.2779;
217 K2 = 3.09;
218 %figure;
219 Gc2f= feedback(K2*Gc2,1);
220 %step(Gc2f);
221 info = stepinfo(Gc2f);
222 info
223
224 info_ext = plot_step_annot(Gc2f, 'la planta compensada con un lag-filter de 1º orden ,
fijando un polo en z = 1.');
225 %step(Gc3f);
226 info = stepinfo(Gc2f);
227 info
228 info_ext
229
230
231 [td, refd, yd, ud, ed, coefs] = sim_compensador_first_order( ...
232 Gd, z0, p0, K, T, umin, umax, refmin, refmax, n_per_seg);
233
234
235 Nini = 100;           % descartar al inicio
236 Nfin = 100;           % descartar al final
237 idx0 = Nini + 1;     % índice inicial válido
238 idx1 = length(td) - Nfin; % índice final válido
239
240 td = td(idx0:idx1)-td(idx0);
241 refd = refd(idx0:idx1);
242 yd = yd(idx0:idx1);
243 ud = ud(idx0:idx1);
244 ed = ed(idx0:idx1);
245
246
247
248 figure;
249
250 % ----- Subplot 1 -----
251 axAbs = subplot(2,1,1); % eje izquierdo (absoluto)
252 hold(axAbs,'on'); grid(axAbs,'on');
253
254 % y[k] en rojo (abs)
255 hY = stairs(axAbs, td, yd, 'r-', 'LineWidth', 1.4);
256
257 % Armamos eje derecho transparente
258 axPct = axes('Position', get(axAbs,'Position'), ...
259 'Color','none', 'YAxisLocation','right', ...

```

```

261 'XLim', get(axAbs,'XLim'), 'XTick',[], 'Box','off');
262 hold(axPct,'on');
263
264 % r[k] en negro, graficado en %
265 ref_pct = 100*(refd - refmin)/(refmax - refmin);
266 hR = stairs(axPct, td, refd, 'k--', 'LineWidth', 1.2);
267
268 % ===== Cálculo de límites con margen =====
269 yd_pct = 100*(yd - refmin)/(refmax - refmin);
270 pctAll = [yd_pct; ref_pct];
271
272 % Valores extremos en % con margen del 5 %
273 rawMin = min(pctAll);
274 rawMax = max(pctAll);
275 span = rawMax - rawMin;
276 pctMin = rawMin - 0.05*span;
277 pctMax = rawMax + 0.05*span;
278
279 % Redondeamos a múltiplos de 20 para ticks
280 stepPct = 20;
281 tickMin = stepPct*floor(pctMin/stepPct);
282 tickMax = stepPct*ceil (pctMax/stepPct);
283 pctTicks = tickMin:stepPct:tickMax;
284
285 % Convertimos a absolutos
286 valTicks = refmin + (pctTicks/100)*(refmax - refmin);
287
288 % Aplicamos a ambos ejes
289 set(axAbs,'YLim',[valTicks(1) valTicks(end)],'YTick',valTicks);
290 set(axPct,'YLim',[valTicks(1) valTicks(end)],'YTick',valTicks, ...
291 'YTickLabel',compose('%.0f %%',pctTicks));
292
293 % Etiquetas
294 xlabel(axAbs,'Tiempo [s]');
295 ylabel(axAbs,'Respuesta [valor absoluto]');
296 ylabel(axPct,'Escala relativa a ref [%]');
297 title(axAbs,'Respuesta discreta con compensador 1º orden, fijando un polo en z = 1.');
298 legend(axAbs, [hY, hR], {'y[k]', 'r[k]'}, 'Location', 'best');
299
300 % ----- Subplot 2: esfuerzo de control -----
301 axU = subplot(2,1,2);
302 stairs(axU, td, ud, 'LineWidth',1.2); grid(axU,'on');
303 yline(axU, umax,'r:'); yline(axU, umin,'r:');
304 xlabel(axU,'Tiempo [s]'); ylabel(axU,'u[k]');
305 title(axU,'Esfuerzo de control con saturación');
306
307 % --- Margen de 5% en eje Y ---
308 uMin = min(ud);
309 uMax = max(ud);
310 span = uMax - uMin;
311 ylim(axU, [uMin - 0.05*span, uMax + 0.05*span]);
312
313 grid(axAbs,'on'); % grilla principal
314 grid(axAbs,'minor'); % grilla secundaria
315
316 grid(axPct,'on');
317 grid(axPct,'minor');
318
319 grid(axU,'on');
320 grid(axU,'minor');
321
322
323 %% Paso 7: Lugar de raices para zita = 0.7 y y ESS = 0, compensador PI de segundo orden
324 z0_0 = 0.9333;
325 p0_0 = 1;
326 z0_1 = 0.436;

```

```

328 p0_1 = 0.71135;
329 C_3 = ((z-z0_0)*(z-z0_1))/((z-p0_0)*(z-p0_1));
330 Gc3 =Gd*C_3; %z=0.8433 %8433
331 figure;
332 rlocus(Gc3)
333 title('Lugar de raíces de G(z) compensado con un lag-filter de 2º orden, fijando un polo
en z = 1 y anulando ambos polos de la planta.');
334
335 zgrid
336 %pause;
337 %[K, ~] = rlocfind(Gc3); % hacés click donde querés los polos
338 K = 1.14;
339 %figure;
340 Gc3f= feedback(K*Gc3,1);
341
342 info_ext = plot_step_annot(Gc3f, 'la planta compensada con un lag-filter de 2º orden,
fijando un polo en z = 1 y anulando ambos polos de la planta.');
343 %step(Gc3f);
344 info = stepinfo(Gc3f);
345 info
346 info_ext
347
348 % --- Llamada a tu simulador (misma interfaz que tu first_order) ---
349 [td, refd, yd, ud, ed, coefs] = sim_compensador_second_order( ...
350 Gd, z0_0, z0_1, p0_0, p0_1, K, T, umin, umax, refmin, refmax, n_per_seg);
351
352
353 Nini = 100; % descartar al inicio
354 Nfin = 100; % descartar al final
355 idx0 = Nini + 1; % índice inicial válido
356 idx1 = length(td) - Nfin; % índice final válido
357
358 td = td(idx0:idx1)-td(idx0);
359 refd = refd(idx0:idx1);
360 yd = yd(idx0:idx1);
361 ud = ud(idx0:idx1);
362 ed = ed(idx0:idx1);
363
364
365
366
367
368 figure;
369
370 % ----- Subplot 1 -----
371 axAbs = subplot(2,1,1); % eje izquierdo (absoluto)
372 hold(axAbs,'on'); grid(axAbs,'on');
373
374 % y[k] en rojo (abs)
375 hY = stairs(axAbs, td, yd, 'r-', 'LineWidth', 1.4);
376
377 % Armamos eje derecho transparente
378 axPct = axes('Position', get(axAbs,'Position'), ...
379 'Color','none', 'YAxisLocation','right', ...
380 'XLim', get(axAbs,'XLim'), 'XTick',[], 'Box','off');
381 hold(axPct,'on');
382
383 % r[k] en negro, graficado en %
384 ref_pct = 100*(refd - refmin)/(refmax - refmin);
385 hR = stairs(axPct, td, refd, 'k--', 'LineWidth', 1.2);
386
387 % ===== Cálculo de límites con margen =====
388 yd_pct = 100*(yd - refmin)/(refmax - refmin);
389 pctAll = [yd_pct; ref_pct];
390
391 % Valores extremos en % con margen del 5 %
392 rawMin = min(pctAll);

```

```

393 rawMax = max(pctAll);
394 span = rawMax - rawMin;
395 pctMin = rawMin - 0.05*span;
396 pctMax = rawMax + 0.05*span;
397
398 % Redondeamos a múltiplos de 20 para ticks
399 stepPct = 20;
400 tickMin = stepPct*floor(pctMin/stepPct);
401 tickMax = stepPct*ceil (pctMax/stepPct);
402 pctTicks = tickMin:stepPct:tickMax;
403
404 % Convertimos a absolutos
405 valTicks = refmin + (pctTicks/100)*(refmax - refmin);
406
407 % Aplicamos a ambos ejes
408 set(axAbs,'YLim',[valTicks(1) valTicks(end)],'YTick',valTicks);
409 set(axPct,'YLim',[valTicks(1) valTicks(end)],'YTick',valTicks, ...
410 'YTickLabel',compose('%.0f %%',pctTicks));
411
412 % Etiquetas
413 xlabel(axAbs,'Tiempo [s]');
414 ylabel(axAbs,'Respuesta [valor absoluto]');
415 ylabel(axPct,'Escala relativa a ref [%]');
416 title(axAbs,'Respuesta discreta con compensador 2º orden, fijando un polo en z = 1 y
anulando ambos polos de la planta');
417 legend(axAbs, [hY, hR], {'y[k]', 'r[k]'}, 'Location', 'best');
418
419 % ----- Subplot 2: esfuerzo de control -----
420 axU = subplot(2,1,2);
421 stairs(axU, td, ud, 'LineWidth',1.2); grid(axU,'on');
422 yline(axU, umax,'r:'); yline(axU, umin,'r:');
423 xlabel(axU,'Tiempo [s]'); ylabel(axU,'u[k]');
424 title(axU,'Esfuerzo de control con saturación');
425
426 % --- Margen de 5% en eje Y ---
427 uMin = min(ud);
428 uMax = max(ud);
429 span = uMax - uMin;
430 ylim(axU, [uMin - 0.05*span, uMax + 0.05*span]);
431
432
433
434
435
436
437
438 grid(axAbs,'on'); % grilla principal
439 grid(axAbs,'minor'); % grilla secundaria
440
441 grid(axPct,'on');
442 grid(axPct,'minor');
443
444 grid(axU,'on');
445 grid(axU,'minor');
446
447
448 % % impresion antigua
449 % % --- Gráficas estilo informe ---
450 % figure;
451 % subplot(2,1,1);
452 % stairs(td, refd, 'k--','LineWidth',1.0); hold on;
453 % stairs(td, yd, 'LineWidth',1.4);
454 % grid on; xlabel('Tiempo [s]'); ylabel('Respuesta de la planta/Referencia');
455 % title('Respuesta discreta con compensador 2º orden'); legend('r[k]', 'y[k]', 'Location', 'best');
456 %
457 % subplot(2,1,2);

```

```

458 % stairs(td, ud, 'LineWidth',1.2);
459 % yline(umax,'r:'); yline(umin,'r:');
460 % grid on; xlabel('Tiempo [s]'); ylabel('u[k]');
461 % title('Esfuerzo de control con saturación');

```

Listing 1: Primera hoja de cálculos utilizada.

```

1 function info_ext = plot_step_annot(sys, nameStr, Ts_override)
2 % STEP discreto con STAIRS; anota 10-90% (en s y en T), OS, zeta y omega_n.
3 % Grafica en milisegundos y marca el OS en el pico.
4
5 if nargin < 2 || isempty(nameStr), nameStr = inputname(1); end
6 if isempty(nameStr), nameStr = 'sys'; end
7
8 % ----- Respuesta y métricas básicas -----
9 [y, t] = step(sys); y = y(:); t = t(:);
10 t_ms = t * 1000; % graficamos en milisegundos
11
12 % Estimar yss por promedio en cola
13 Ntail = max(10, round(0.05*length(y)));
14 yss = mean(y(end-Ntail+1:end));
15
16 % Límites 10-90
17 if abs(yss) < 1e-12
18 t10 = NaN; t90 = NaN; tr_10_90 = NaN; y10 = 0; y90 = 0;
19 else
20 y10 = 0.10*yss; y90 = 0.90*yss;
21 sgn = sign(yss);
22 idx10 = find(sgn*y >= sgn*y10, 1, 'first');
23 idx90 = find(sgn*y >= sgn*y90, 1, 'first');
24 t10 = tern(~isempty(idx10), t(idx10), NaN);
25 t90 = tern(~isempty(idx90), t(idx90), NaN);
26 tr_10_90 = tern(~isnan(t10)&&~isnan(t90)&&t90>=t10, t90 - t10, NaN);
27 end
28 t10_ms = t10 * 1000; t90_ms = t90 * 1000;
29
30 % Pico y %OS (para zeta y omega_n)
31 [ypeak_raw, idxpk] = max(sign(yss).*y);
32 ypeak = sign(yss)*ypeak_raw;
33 tpeak = t(idxpk); tpeak_ms = tpeak * 1000;
34 OS_percent = tern(yss ~= 0, max(0, (ypeak - yss)/abs(yss)*100), NaN);
35
36 % zeta desde %OS: OS% = 100*exp(-zeta*pi/sqrt(1-zeta^2))
37 if isnan(OS_percent) || OS_percent <= 0
38 zeta_est = NaN;
39 else
40 logterm = log(OS_percent/100);
41 zeta_est = -logterm / sqrt(pi^2 + logterm^2);
42 end
43
44 % ----- Ts y rise en T -----
45 Ts = NaN;
46 try
47 if isprop(sys,'Ts') && ~isempty(sys.Ts) && sys.Ts > 0, Ts = sys.Ts; end
48 catch, end
49 if nargin >= 3 && ~isempty(Ts_override) && Ts_override > 0, Ts = Ts_override; end
50 tr_10_90_T = tern(~isnan(Ts) && ~isnan(tr_10_90), tr_10_90/Ts, NaN);
51
52 % ----- Estimacion de omega_n -----
53 omega_n = NaN;
54 if ~isnan(zeta_est) && zeta_est < 1 && OS_percent > 0 && tpeak > 0
55 omega_n = pi / (tpeak * sqrt(1 - zeta_est^2) );
56 end
57 if isnan(omega_n)
58 S = stepinfo(y, t); % Ts(2%) ~ 4/(zeta*omega_n)
59 if isfield(S,'SettlingTime') && ~isempty(S.SettlingTime) && S.SettlingTime > 0 && ~isnan(
zeta_est) && zeta_est > 0

```

```

60 omega_n = 4 / ( zeta_est * S.SettlingTime );
61 end
62 end
63 if isnan(omega_n) && ~isnan(tr_10_90) && tr_10_90 > 0
64 k_rise = 1.4; % aprox para 10-90% en 2do orden subamortiguado
65 omega_n = k_rise / tr_10_90;
66 end
67
68 % ----- Grafico -----
69 figure;
70 stairs(t_ms, y, 'LineWidth', 1.5); grid on; grid minor; hold on;
71 xlabel('Tiempo [ms]'); ylabel('Salida');
72 title(sprintf('Respuesta al escalon de %s', nameStr));
73
74 % Líneas guía 10% y 90% y marcadores (en ms)
75 if ~isnan(tr_10_90)
76 yline(y10, '--', '10% yss', 'LabelHorizontalAlignment','left');
77 yline(y90, '--', '90% yss', 'LabelHorizontalAlignment','left');
78 xline(t10_ms, ':', 't10%');
79 xline(t90_ms, ':', 't90%');
80 plot([t10_ms t90_ms], [y10 y90], 'o', 'MarkerSize', 6, 'LineWidth', 1.2);
81 end
82 % Línea de yss
83 yline(yss, '-', sprintf('yss=%.3g', yss), 'LabelHorizontalAlignment','left');
84
85 % ----- Marca del OS en el pico -----
86 if ~isnan(OS_percent) && OS_percent > 0
87 % línea vertical desde yss a ypeak en tpeak
88 plot([tpeak_ms tpeak_ms], [yss ypeak], '—', 'LineWidth', 1.2);
89 % texto al costado derecho de la línea
90 dx = 0.02 * (t_ms(end) - t_ms(1));
91 text(tpeak_ms + dx, yss + 0.5*(ypeak - yss), ...
92 sprintf('OS=% .3g %%', OS_percent), ...
93 'Interpreter','none', 'Margin',2);
94 % marcar el pico
95 plot(tpeak_ms, ypeak, 's', 'MarkerSize', 6, 'LineWidth', 1.2);
96 end
97
98 % ----- Cuadro de metricas (abajo-derecha; chico) -----
99 w = 0.15; h = 0.09; rmargin = 0.1; x = 1 - rmargin - w; y0 = 0.30;
100 txtLines = {
101 sprintf('t_r(10%%-90%%) = %.4g ms (~%.4g Ts)', safeNum(tr_10_90*1000), safeNum(
102 tr_10_90_T))
103 sprintf('OS = %.4g %%', safeNum(OS_percent))
104 sprintf('zeta = %.4g', safeNum(zeta_est))
105 sprintf('omega_n = %.4g rad/s', safeNum(omega_n))
106 };
107 annotation('textbox', [x y0 w h], ...
108 'String', txtLines, 'Interpreter','none', ...
109 'FontName','Consolas', 'FontSize',9, ...
110 'EdgeColor',[0.5 0.5 0.5], 'FaceAlpha',0.88, 'BackgroundColor','w');
111 hold off;
112
113 % ----- Salida -----
114 info_ext = struct( ...
115 'yss', yss, ...
116 't10', t10, ...
117 't90', t90, ...
118 'tr_10_90', tr_10_90, ...
119 'tr_10_90_T', tr_10_90_T, ...
120 'OS_percent', OS_percent, ...
121 'zeta_est', zeta_est, ...
122 'omega_n', omega_n, ...
123 'Ts', Ts);
124 end

```

```

126 % ----- helpers -----
127 function y = tern(cond, a, b)
128 if cond, y = a; else, y = b; end
129 end
130
131 function v = safeNum(x)
132 if isnan(x) || isinf(x), v = NaN; else, v = x; end
133 end
134 function [td, refd, yd, ud, ed, coefs] = sim_compensador_first_order( ...
135 Gd, z0, p0, Kc, T, umin, umax, refmin, refmax, n_per_seg)
136
137 % ===== Igual que tu PID:  $y(k+1)=b0*u(k)+b1*u(k-1)-a1*y(k)-a2*y(k-1)$  =====
138 % Controlador (posición):  $u(k) = p0*u(k-1) + Kc*ed(k) - Kc*z0*ed(k-1)$ 
139 %  $ed(k) = refd(k) - yd(k)$ 
140
141 if nargin < 10 || isempty(n_per_seg), n_per_seg = 600; end
142 if ~isa(Gd,'tf'), error('Gd debe ser tf discreto.'); end
143
144 % --- Coefs planta exactamente como en tu ejemplo ---
145 [numD, denD] = tfdata(Gd, 'v');
146 b0 = numD(2);
147 b1 = numD(3);
148 a1 = denD(2);
149 a2 = denD(3);
150 coefs = struct('b0',b0,'b1',b1,'a1',a1,'a2',a2);
151
152 % --- Tiempo y referencia (refmin -> refmax -> refmin) ---
153 N = 3*n_per_seg;
154 td = (0:N-1)' * T;
155 refd = [refmin*ones(n_per_seg,1);
156 refmax*ones(n_per_seg,1);
157 refmin*ones(n_per_seg,1)];
158
159 % --- Inicialización idéntica a tu estilo ---
160 yd = zeros(N,1);
161 ed = zeros(N,1);
162 ud = zeros(N,1);
163
164 % --- Loop (misma estructura y orden que tu PID) ---
165 for k = 3:N-1
166 ed(k) = refd(k) - yd(k);
167
168 % Compensador:  $u(k) = p0*u(k-1) + Kc*ed(k) - Kc*z0*ed(k-1)$ 
169 u_k = p0*ud(k-1) + Kc*ed(k) - Kc*z0*ed(k-1);
170
171
172 if u_k>umax
173 ud(k) = umax;
174 elseif u_k<umin
175 ud(k) = umin;
176 else
177 ud(k) = u_k;
178 end
179
180
181 % Planta discreta (dividido por a0 implícito como en tu ejemplo)
182 yd(k+1) = b0*ud(k) + b1*ud(k-1) - a1*yd(k) - a2*yd(k-1);
183 end
184 end
185
186 function [td, refd, yd, ud, ed, coefs] = sim_compensador_second_order( ...
187 Gd, z0_0, z0_1, p0_0, p0_1, Kc, T, umin, umax, refmin, refmax, n_per_seg)
188
189 % ===== Planta:  $y(k+1)=b0*u(k)+b1*u(k-1)+b2*u(k-2)-a1*y(k)-a2*y(k-1)$  =====
190 % Compensador (posición, 2º orden):
191 %  $u(k) = (p0_0+p0_1)*u(k-1) - (p0_0*p0_1)*u(k-2) \dots$ 
192 %  $+ Kc*[ e(k) - (z0_0+z0_1)*e(k-1) + (z0_0*z0_1)*e(k-2) ]$ 

```

```

193 % e(k) = refd(k) - yd(k)
194
195 if nargin < 12 || isempty(n_per_seg), n_per_seg = 600; end
196 if ~isa(Gd,'tf'), error('Gd debe ser tf discreto.');" end
197
198 % --- Coefs planta (normalizados a a0=1) ---
199 [numD, denD] = tfdata(Gd, 'v');
200 numD = numD(:).'; denD = denD(:).';
201 if abs(denD(1) - 1) > 1e-12
202 numD = numD/denD(1);
203 denD = denD/denD(1);
204 end
205
206 % Asegurar longitud mínima del denominador [1 a1 a2]
207 if numel(denD) < 3, denD(end+1:3) = 0; end
208 a1 = denD(2);
209 a2 = denD(3);
210
211 % b0,b1,b2 sin romper si faltan términos en el numerador
212 b0 = 0; b1 = 0; b2 = 0;
213 if numel(numD) >= 2, b0 = numD(2); end
214 if numel(numD) >= 3, b1 = numD(3); end
215 if numel(numD) >= 4, b2 = numD(4); end
216 % Nota: esto respeta tu estilo previo (b0=numD(2), b1=numD(3), ...)
217
218 coefs = struct('b0',b0,'b1',b1,'b2',b2,'a1',a1,'a2',a2, ...
219 'z0_0',z0_0,'z0_1',z0_1,'p0_0',p0_0,'p0_1',p0_1,'Kc',Kc);
220
221 % --- Tiempo y referencia (refmin -> refmax -> refmin) ---
222 N = 3*n_per_seg;
223 td = (0:N-1)' * T;
224 refd = [refmin*ones(n_per_seg,1);
225 refmax*ones(n_per_seg,1);
226 refmin*ones(n_per_seg,1)];
227
228 % --- Inicialización ---
229 yd = zeros(N,1);
230 ed = zeros(N,1);
231 ud = zeros(N,1);
232
233 % --- Precalculos del compensador ---
234 P1 = (p0_0 + p0_1);
235 P2 = (p0_0 * p0_1);
236 Z1 = (z0_0 + z0_1);
237 Z2 = (z0_0 * z0_1);
238
239 % --- Loop ---
240 for k = 3:N-1
241 ed(k) = refd(k) - yd(k);
242
243 % Compensador 2º orden
244 u_k = P1*ud(k-1) - P2*ud(k-2) + Kc*( ed(k) - Z1*ed(k-1) + Z2*ed(k-2) );
245
246 % Saturación
247 if u_k > umax
248 ud(k) = umax;
249 elseif u_k < umin
250 ud(k) = umin;
251 else
252 ud(k) = u_k;
253 end
254
255 % Planta discreta
256 yd(k+1) = b0*ud(k) + b1*ud(k-1) + b2*ud(k-2) - a1*yd(k) - a2*yd(k-1);
257 end
258 end
259
```

Listing 2: Funciones desarrolladas para la práctica.

```

1 close all
2 clear all
3
4 % Cargar CSV
5 data = readmatrix('opltab.csv');
6
7 % Ignorar cabeceras, quedarte solo con datos numéricos
8 u = data(3:end, 5); % columna E = salida
9 y = data(3:end, 11); % columna K = entrada
10 Ts = 0.000099999997474; % tiempo de muestreo de B3
11
12 % Crear objeto de identificación
13 data_id = iddata(y, u, Ts);
14
15
16 % Estimar una función de transferencia discreta (ejemplo: 2 polos, 1 cero)
17 sys0 = tfest(data_id, 2, 0);
18
19 % % Ver resultado
20 % step(sys);
21 % % Crear datos de identificación
22 % data_id = iddata(y, u, Ts);
23 %
24 % % Probar con distintos órdenes
25 % sys1 = tfest(data_id, 1, 0); % 1 polo
26 % sys2 = tfest(data_id, 2, 1); % 2 polos, 1 cero
27 %
28 % % Comparar
29 figure;
30 compare(data_id,sys0);
31
32 G = tf(sys0);
33 T = 1.25e-3;
34 Gd = c2d(G, T, 'zoh');
35 disp('Planta digital G(z):')
36 zpk(Gd)
37 controlSystemDesigner(Gd)
38
39 save('planta.mat', 'G');
```

Listing 3: Modelo mejorado de la planta mediante los datos recolectados del osciloscopio

```

1 close all
2 clear all
3
4 addpath('..\Lab1\' )
5
6
7 load('planta.mat');
8 % % Analizamos en el tiempo
9 [tr, ts, wn] = plot_step_info(G);
10 disp('Planta continua G(s):')
11 G
12 zpk(G)
13
14 % % Paso 1: Definir periodo de muestreo
15 % Se busca una mejora de 4 en el tiempo de rising , o sea tr = 10 ms
16
17 T = 1.25e-3;
18 %Gcl = feedback(G,1);
19 %figure;
20 %step(Gcl)
21 %T = stepinfo(Gcl).SettlingTime/8;
```

```

22
23 % % Paso 2: Digitalizar con ZOH
24 Gd = c2d(G, T, 'zoh');
25 disp('Planta digital G(z):')
26 Gd
27 zpk(Gd)
28 figure;
29 pzmap(Gd);
30 title('Lugar de raíces de G(z).')
31
32 zgrid;
33 z = tf([1 0],1,T);
34
35 % % Paso 3: Análisis en tiempo discreto lazo abierto
36 figure;
37
38 % Obtenemos salida y tiempo de la función step
39 [y, t] = step(Gd);
40
41 % Graficamos con stairs (propio de señales discretas)
42 stairs(t*1000, y, 'LineWidth', 1.4);
43
44 title('Respuesta al escalón de la planta digitalizada')
45 xlabel('Tiempo [ms]');
46 ylabel('Salida');
47 grid on;
48 ax = gca;
49 ax.XMinorTick = 'on'; % activamos minor ticks
50 ax.YMinorTick = 'on';
51 grid minor;
52
53 % % Paso 4: Definimimos los valores de la simulación
54 umin = 0;
55 umax = 4.08;
56 refmin = 1.5;
57 refmax = 2.5;
58 n_per_seg = 500;
59 % % Paso 5: Lugar de raíces para zeta = 0.7, compensador P
60 %figure
61
62 %rlocus(Gd)
63 %zgrid % agrega la grilla en el plano-z
64 z0 = 0.380927627742363;
65 p0 = 0.836970379456654;
66 K = 0.226961597782889;
67 C_1 = (z-z0)/(z-p0);
68 figure;
69 Gc1 = Gd*C_1;
70 rlocus(Gc1);
71 title('Lugar de raíces de G(z) compensado con un lag-filter de 1º orden, anulando el polo
más rápido de la planta.')
72
73 zgrid % agrega la grilla en el plano-z
74 %pause;
75 %[K, ~] = rlocfind(Gc1); % hacés click donde querés los polos
76 %K = 0.73139;
77 %K = 0.82543;
78 %K = 1.796463473892606;
79 Gclf = feedback(K*Gc1,1);
80 %figure;
81 %step(Gclf)
82 info = stepinfo(Gclf);
83 info
84
85 info_ext = plot_step_annot(Gclf, 'la planta compensada con un lag-filter de 1º orden,
anulando el polo más rápido de la planta.');
86 %step(Gc3f);

```

```

87 info = stepinfo(Gclf);
88 info
89 info_ext
90
91 [td, refd, yd, ud, ed, coefs] = sim_compensador_first_order( ...
92 Gd, z0, p0, K, T, umin, umax, refmin, refmax, n_per_seg);
93
94 Nini = 100; % descartar al inicio
95 Nfin = 100; % descartar al final
96 idx0 = Nini + 1; % índice inicial válido
97 idx1 = length(td) - Nfin; % índice final válido
98
99 td = td(idx0:idx1)-td(idx0);
100 refd = refd(idx0:idx1);
101 yd = yd(idx0:idx1);
102 ud = ud(idx0:idx1);
103 ed = ed(idx0:idx1);
104
105 % Si querés que el tiempo arranque en 0
106
107
108
109
110 figure;
111
112 % ----- Subplot 1 -----
113 axAbs = subplot(2,1,1); % eje izquierdo (absoluto)
114 hold(axAbs,'on'); grid(axAbs,'on');
115
116 % y[k] en rojo (abs)
117 hY = stairs(axAbs, td, yd, 'r-', 'LineWidth', 1.4);
118
119 % Armamos eje derecho transparente
120 axPct = axes('Position', get(axAbs,'Position'), ...
121 'Color','none', 'YAxisLocation','right', ...
122 'XLim', get(axAbs,'XLim'), 'XTick',[], 'Box','off');
123 hold(axPct,'on');
124
125 % r[k] en negro, graficado en %
126 ref_pct = 100*(refd - refmin)/(refmax - refmin);
127 hR = stairs(axPct, td, refd, 'k--', 'LineWidth', 1.2);
128
129 % ===== Cálculo de límites con margen =====
130 yd_pct = 100*(yd - refmin)/(refmax - refmin);
131 pctAll = [yd_pct; ref_pct];
132
133 % Valores extremos en % con margen del 5 %
134 rawMin = min(pctAll);
135 rawMax = max(pctAll);
136 span = rawMax - rawMin;
137 pctMin = rawMin - 0.05*span;
138 pctMax = rawMax + 0.05*span;
139
140 % Redondeamos a múltiplos de 20 para ticks
141 stepPct = 20;
142 tickMin = stepPct*floor(pctMin/stepPct);
143 tickMax = stepPct*ceil (pctMax/stepPct);
144 pctTicks = tickMin:stepPct:tickMax;
145
146 % Convertimos a absolutos
147 valTicks = refmin + (pctTicks/100)*(refmax - refmin);
148
149 % Aplicamos a ambos ejes
150 set(axAbs,'YLim',[valTicks(1) valTicks(end)],'YTick',valTicks);
151 set(axPct,'YLim',[valTicks(1) valTicks(end)],'YTick',valTicks, ...
152 'YTickLabel',compose('%.0f %%',pctTicks)));

```

```

154
155 % Etiquetas
156 xlabel(axAbs,'Tiempo [s]');
157 ylabel(axAbs,'Respuesta [valor absoluto]');
158 ylabel(axPct,'Escala relativa a ref [%]');
159 title(axAbs,'Respuesta discreta con compensador 1º orden, anulando el polo más rápido de
la planta.');
160 legend(axAbs, [hY, hR], {'y[k]', 'r[k]'}, 'Location', 'best');

161
162 % ----- Subplot 2: esfuerzo de control -----
163 axU = subplot(2,1,2);
164 stairs(axU, td, ud, 'LineWidth',1.2); grid(axU,'on');
165 yline(axU, umax,'r:'); yline(axU, umin,'r:');
166 xlabel(axU,'Tiempo [s]'); ylabel(axU,'u[k]');
167 title(axU,'Esfuerzo de control con saturación');

168
169 % --- Margen de 5% en eje Y ---
170 uMin = min(ud);
171 uMax = max(ud);
172 span = uMax - uMin;
173 ylim(axU, [uMin - 0.05*span, uMax + 0.05*span]);

174
175
176 grid(axAbs,'on'); % grilla principal
177 grid(axAbs,'minor'); % grilla secundaria
178
179 grid(axPct,'on');
180 grid(axPct,'minor');

181
182 grid(axU,'on');
183 grid(axU,'minor');

184
185
186
187 %% Paso 7: Lugar de raices para zita = 0.7 y y ESS = 0, compensador PI de segundo orden
188 z0_0 = 0.380927627742363;
189 z0_1 = 0.821584532561100;

190
191 p0_0 = 0.753973536568200;
192 p0_1 = 1;
193 K = 0.287529112579611;
194 C_3 = ((z-z0_0)*(z-z0_1))/((z-p0_0)*(z-p0_1));
195 Gc3 =Gd*C_3; %z=0.8433 %8433
196 figure;
197 rlocus(Gc3)
198 title('Lugar de raíces de G(z) compensado con un lag-filter de 2º orden, fijando un polo
en z = 1 y anulando ambos polos de la planta.');

199
200 zgrid
201 %pause;
202 %[K, ~] = rlocfind(Gc3); % hacés click donde querés los polos
203 %K = 1.14;
204 %figure;
205 Gc3f= feedback (K*Gc3,1);

206
207 info_ext = plot_step_annot(Gc3f, 'la planta compensada con un lag-filter de 2º orden,
fijando un polo en z = 1 y anulando ambos polos de la planta.');
208 %step(Gc3f);
209 info = stepinfo(Gc3f);
210 info
211 info_ext

212
213
214
215 % --- Llamada a tu simulador (misma interfaz que tu first_order) ---
216 [td, refd, yd, ud, ed, coefs] = sim_compensador_second_order( ...
217 Gd, z0_0, z0_1, p0_0, p0_1, K, T, umin, umax, refmin, refmax, n_per_seg);

```

```

218
219
220 Nini = 100; % descartar al inicio
221 Nfin = 100; % descartar al final
222 idx0 = Nini + 1; % índice inicial válido
223 idx1 = length(td) - Nfin; % índice final válido
224
225 td = td(idx0:idx1)-td(idx0);
226 refd = refd(idx0:idx1);
227 yd = yd(idx0:idx1);
228 ud = ud(idx0:idx1);
229 ed = ed(idx0:idx1);
230
231
232
233
234 figure;
235
236 % ----- Subplot 1 -----
237 axAbs = subplot(2,1,1); % eje izquierdo (absoluto)
238 hold(axAbs,'on'); grid(axAbs,'on');
239
240 % y[k] en rojo (abs)
241 hY = stairs(axAbs, td, yd, 'r-', 'LineWidth', 1.4);
242
243 % Armamos eje derecho transparente
244 axPct = axes('Position', get(axAbs,'Position'), ...
245 'Color','none', 'YAxisLocation','right', ...
246 'XLim', get(axAbs,'XLim'), 'XTick',[], 'Box','off');
247 hold(axPct,'on');
248
249 % r[k] en negro, graficado en %
250 ref_pct = 100*(refd - refmin)/(refmax - refmin);
251 hR = stairs(axPct, td, refd, 'k--', 'LineWidth', 1.2);
252
253 % ===== Cálculo de límites con margen =====
254 yd_pct = 100*(yd - refmin)/(refmax - refmin);
255 pctAll = [yd_pct; ref_pct];
256
257 % Valores extremos en % con margen del 5 %
258 rawMin = min(pctAll);
259 rawMax = max(pctAll);
260 span = rawMax - rawMin;
261 pctMin = rawMin - 0.05*span;
262 pctMax = rawMax + 0.05*span;
263
264 % Redondeamos a múltiplos de 20 para ticks
265 stepPct = 20;
266 tickMin = stepPct*floor(pctMin/stepPct);
267 tickMax = stepPct*ceil (pctMax/stepPct);
268 pctTicks = tickMin:stepPct:tickMax;
269
270 % Convertimos a absolutos
271 valTicks = refmin + (pctTicks/100)*(refmax - refmin);
272
273 % Aplicamos a ambos ejes
274 set(axAbs,'YLim',[valTicks(1) valTicks(end)],'YTick',valTicks);
275 set(axPct,'YLim',[valTicks(1) valTicks(end)],'YTick',valTicks, ...
276 'YTickLabel',compose('%.0f %%',pctTicks));
277
278 % Etiquetas
279 xlabel(axAbs,'Tiempo [s]');
280 ylabel(axAbs,'Respuesta [valor absoluto]');
281 ylabel(axPct,'Escala relativa a ref [%]');
282 title(axAbs,'Respuesta discreta con compensador 2º orden, fijando un polo en z = 1 y
283 anulando ambos polos de la planta');
legend(axAbs, [hY, hR], {'y[k]', 'r[k]'}, 'Location', 'best');

```

```

284 % ----- Subplot 2: esfuerzo de control -----
285 axU = subplot(2,1,2);
286 stairs(axU, td, ud, 'LineWidth',1.2); grid(axU,'on');
287 yline(axU, umax,'r:'); yline(axU, umin,'r:');
288 xlabel(axU,'Tiempo [s]'); ylabel(axU,'u[k]');
289 title(axU,'Esfuerzo de control con saturación');
290
291 % --- Margen de 5% en eje Y ---
292 uMin = min(ud);
293 uMax = max(ud);
294 span = uMax - uMin;
295 ylim(axU, [uMin - 0.05*span, uMax + 0.05*span]);
296
297
298
299
300
301
302
303
304 grid(axAbs,'on'); % grilla principal
305 grid(axAbs,'minor'); % grilla secundaria
306
307 grid(axPct,'on');
308 grid(axPct,'minor');
309
310 grid(axU,'on');
311 grid(axU,'minor');
312
313 % % impresion antigua
314 % --- Gráficas estilo informe ---
315 % figure;
316 % subplot(2,1,1);
317 % stairs(td, refd, 'k--','LineWidth',1.0); hold on;
318 % stairs(td, yd, 'LineWidth',1.4);
319 % grid on; xlabel('Tiempo [s]'); ylabel('Respuesta de la planta/Referencia');
320 % title('Respuesta discreta con compensador 2º orden'); legend('r[k]', 'y[k]', 'Location', 'best');
321 %
322 % subplot(2,1,2);
323 % stairs(td, ud, 'LineWidth',1.2);
324 % yline(umax,'r:'); yline(umin,'r:');
325 % grid on; xlabel('Tiempo [s]'); ylabel('u[k]');
326 % title('Esfuerzo de control con saturación');
327

```

Listing 4: Segunda hoja de cálculos utilizada.

## APÉNDICE B CÓDIGO DESARROLLADO PARA EL PSOC

```

1 \\
2 \\\XD\\XD\\XD

```

Listing 5: Código desarrollado para la implementación de los compensadores con el PSoC en lenguaje C.